



UNIVERSITÀ  
DEGLI STUDI  
FIRENZE

Relazione  
di  
Metodi Numerici per la Grafica

Di  
Federico Schipani

A.A. 2017-2018



## Indice

<b>1</b>	<b>La Base delle B-Spline</b>	<b>2</b>
1.1	Esempi di basi . . . . .	3
1.2	Proprietà della base delle B-Spline . . . . .	3
<b>2</b>	<b>Curve B-Spline</b>	<b>4</b>
2.1	Proprietà delle curve B-Spline . . . . .	5
2.2	Curve Chiuse . . . . .	5
<b>3</b>	<b>Superfici di Bézier</b>	<b>5</b>
3.1	Proprietà delle superfici di Bézier . . . . .	5

## 1 La Base delle B-Spline

Dato un vettore esteso dei nodi

$$\mathbf{t} = \left\{ \underbrace{t_0, \dots, t_{k-2}}_{k-1}, \underbrace{t_{k-1}, \dots, t_{n+1}}_{\tau_0, \tau_1, \dots, \tau_L}, \underbrace{t_{n+2}, \dots, t_{n+k}}_{k-1} \right\}$$

con

$$t_0 \leq t_1 \leq \dots \leq t_{k+1} < t_k \dots < t_{n+1} \leq t_{n+2} \leq \dots \leq t_{n+k}$$

possiamo definire la base delle B-Spline su nodi semplici tramite la relazione ricorrente di *Cox - Boor*.

**Definizione 1.** Le B-Spline di ordine 1, oppure grado 0 sono definite come:

$$N_{i,1}(t) = \begin{cases} 1, & \text{se } t \in [t_i, t_{i+1}] i = 0, \dots, n+k-1 \\ 0, & \text{altrimenti} \end{cases}$$

Altrimenti le B-Spline di ordine  $r \leq k$  sono definite ricorsivamente, per  $r > 1$ , come:

$$N_{i,r}(t) = \omega_{i,r}(t)N_{i,r-1}(t) + [1 - \omega_{i+1,r}(t)]N_{i+1,r-1}$$

dove

$$\omega_{i,r}(t) = \begin{cases} \frac{t-t_i}{t_{i+r-1}-t_i}, & \text{se } t < t_{i+r-1} \\ 0, & \text{altrimenti} \end{cases}$$

Le B-Spline possono anche essere definite su una partizione nodale la cui molteplicità  $m_i$  di un generico nodo  $\tau_i$  è più alta di 1, quindi su nodi multipli. In questo caso il vettore esteso dei nodi diventa:

$$\mathbf{t} = \left\{ \underbrace{t_0, \dots, t_{k-2}}_{k-1}, \underbrace{t_{k-1}, \dots, t_{n+1}}_{\tau_0, \tau_1, \dots, \tau_1, \dots, \tau_L}, \underbrace{t_{n+2}, \dots, t_{n+k}}_{k-1} \right\}$$

con  $\tau_i$  ripetuto a seconda della sua molteplicità  $m_i$  con  $i = 1, \dots, L-1$  in  $\mathbf{t}$ , e

$$t_0 \leq t_1 \leq \dots \leq t_{k+1} \leq t_k \dots \leq t_{n+1} \leq t_{n+2} \leq \dots \leq t_{n+k}$$

La definizione della base delle B-Spline di *Cox - De Boor* non cambia, ma bisogna stare attenti in quanto  $\omega_{i,r}(t)$  può diventare nullo per qualche valore  $r$  a causa dei nodi multipli. In Codice 1 sono mostrate le due funzioni che calcolano le basi di *Cox - De Boor*, realizzate senza l'utilizzo delle funzioni del *Curve Fitting Toolbox*.

Codice 1: Calcolo delle basi di Cox De Boor

```

1 function [omega] = calc_omega (i, r, t_star, t)
2     if t(i) == t(i+r-1)
3         omega = 0;
4         return;
5     elseif t_star <= t(i+r-1)
6         omega = (t_star-t(i)) / (t(i+r-1)-t(i));
7         return;
8     else
9         omega = 0;
10        return;
11    end

```

```

12 end
13
14 function [y] = de_boor_basis (i, r, t, t_star, k)
15     if r == 1
16         if (t_star >= t(i) && t_star < t(i+1)) || ...
17             ((t_star >= t(i) && t_star <= t(i+1) && ...
18                 t_star == t(end) && i == length(t)-k))
19
20             y = 1;
21             return;
22         else
23             y = 0;
24             return;
25         end
26     else
27         omega1 = calc_omega(i, r, t_star, t);
28         omega2 = (1 - calc_omega(i+1, r, t_star, t));
29         db1 = de_boor_basis(i, r-1, t, t_star, k);
30         db2 = de_boor_basis(i+1, r-1, t, t_star, k);
31         y = omega1 * db1 + omega2 * db2;
32         return;
33     end
34 end

```

La funzione `calc_omega` di Codice 1 è di facile comprensione. Dati in input l'indice  $i$ , l'ordine  $r$ , il punto in cui si vuole calcolare la spline  $t_{star}$  ed il vettore esteso dei nodi  $\mathbf{t}$  si occupa di calcolare i valori  $\omega_{i,r}(t)$ . Il controllo iniziale  $t_i == t_i + r - 1$  serve a gestire il caso di nodi multipli. In questa particolare condizione possiamo trovarci a gestire casi in cui il denominatore di  $\frac{t-t_i}{t_{i+1-r}-t_i}$  è uguale a 0; quindi  $\omega_{i,r}(t)$  dev'essere posto a 0. La seconda funzione in Codice 1 è `de_boor_basis` che effettua il calcolo delle basi delle B-Spline. La condizione booleana a riga 16, 17 e 18 serve a verificare che, nel caso in cui l'ordine della spline sia 1, ci si trovi all'interno dell'intervallo  $[t_i, t_{i+1})$ . Bisogna però fare attenzione al caso in cui il punto  $t = t_{star}$  di  $N_{i,k}(t)$  si trovi nell'ultimo intervallo. Questo ha reso necessario introdurre un ulteriore controllo per fare in modo che venga preso in considerazione anche l'ultimo valore dell'ultimo intervallo.

### 1.1 Esempi di basi

L'esempio più immediato di base è quello dove il vettore esteso dei nodi è uniforme, in questo caso abbiamo preso  $\mathbf{t} = [0, 1, 2, 3, 4, 5, 6, 7, 8, 9]$  e  $k = 5$ , otterremo quindi 5 funzioni di base visualizzate in Figura 1.

Cambiando il vettore esteso dei nodi  $\mathbf{t}$  otteniamo basi per le B-Spline con regolarità diversa. In Figura 2 viene mostrato cosa succede tenendo fissato il numero di nodi e l'ordine e aumentato la molteplicità del nodo 4.

Un caso particolare della base delle B-Spline sono i polinomi di Bernstein. Questi ultimi si ottengono quando, dato  $[a, b] = [\tau_0, \tau_L]$ , la partizione nodale estesa è formata solamente da  $a$  ripetuto  $k$  volte e  $b$  ripetuto altrettante  $k$  volte. In Figura 3 è mostrato un esempio di base ottenuta con i polinomi di Bernstein di grado 5.

### 1.2 Proprietà della base delle B-Spline

La base delle B-Spline gode di diverse proprietà:

1. Supporto locale:  $N_{i,r}(t) = 0$  se  $t \notin [t_i, t_{i+r}]$
2. Non negatività:  $N_{i,r}(t) \geq 0 \forall t \in \mathbb{R}$

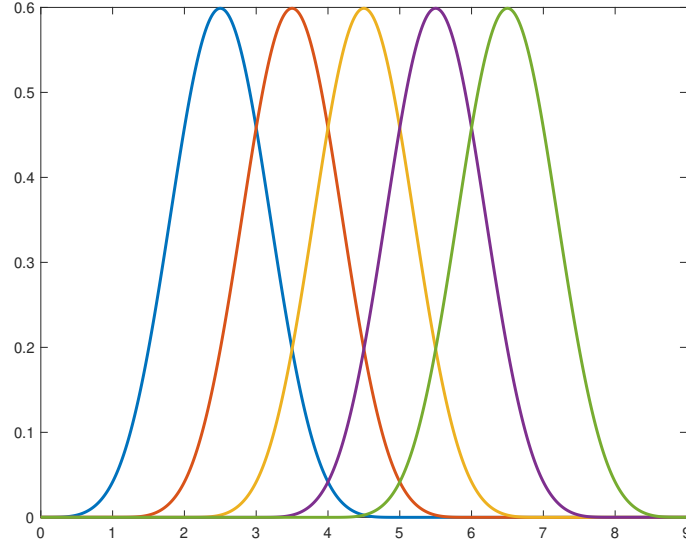


Figura 1: Base con  $\mathbf{t} = [0, 1, 2, 3, 4, 5, 6, 7, 8, 9]$  e  $k = 5$

3. Partizione dell'unità:  $\sum_{i=0}^{n+k-r} = 1 \quad \forall t \in [t_{r-1}, t_{n+1+k-r}]$  con  $r = 1 \dots k$

**Supporto locale** Questa proprietà ci dice che la spline  $N_{i,r}(t)$  è diversa da zero solamente nell'intervallo di nodi che va da  $t_i$  a  $t_{i+r}$ . Prendiamo ad esempio le B-Spline di ordine  $k = 4$  e con  $\mathbf{t} = [0, 0, 0, 1, 1, 2, 3, 3, 3]$ . Le splines saranno le seguenti:

- $N_{1,4}(t) \neq 0 \quad t \in [t_1 = 0, t_5 = 1]$
- $N_{2,4}(t) \neq 0 \quad t \in [t_2 = 0, t_6 = 2]$
- $N_{3,4}(t) \neq 0 \quad t \in [t_3 = 0, t_7 = 3]$
- $N_{4,4}(t) \neq 0 \quad t \in [t_4 = 1, t_8 = 3]$
- $N_{5,4}(t) \neq 0 \quad t \in [t_5 = 1, t_9 = 3]$

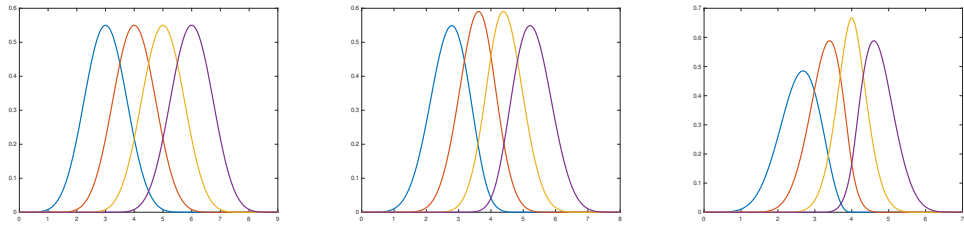
Facendo un plot di questa base possiamo vedere come la proprietà di supporto locale sia verificata, in particolare in Figura 4 sono mostrate tutte le splines della base, mentre in Figura 5 è mostrato un dettaglio della  $N_{1,4}(t)$  per  $t = [0.85, 1.15]$ .

**Non negatività** In questo caso la proprietà è facilmente verificabile sfruttando uno qualunque dei plot mostrati in precedenza, ad esempio possiamo vedere che in Figura 4 nessuna delle  $N_{i,r}(t)$  è negativa.

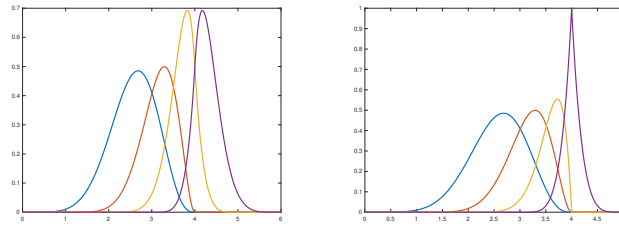
**Partizione dell'unità** BONA

## 2 Curve B-Spline

A partire dalla base delle B-Spline è possibile realizzare delle curve. Dati



(a)  $\mathbf{t} = [0, 1, 2, 3, 4, 5, 6, 7, 8, 9]$  (b)  $\mathbf{t} = [0, 1, 2, 3, 4, 4, 5, 6, 7, 8]$  (c)  $\mathbf{t} = [0, 1, 2, 3, 4, 4, 4, 5, 6, 7]$



(d)  $\mathbf{t} = [0, 1, 2, 3, 4, 4, 4, 4, 5, 6]$  (e)  $\mathbf{t} = [0, 1, 2, 3, 4, 4, 4, 4, 5]$

Figura 2: Base con nodi multipli di ordine 6

## 2.1 Proprietà delle curve B-Spline

## 2.2 Curve Chiuse

## 3 Superfici di Bézier

### 3.1 Proprietà delle superfici di Bézier

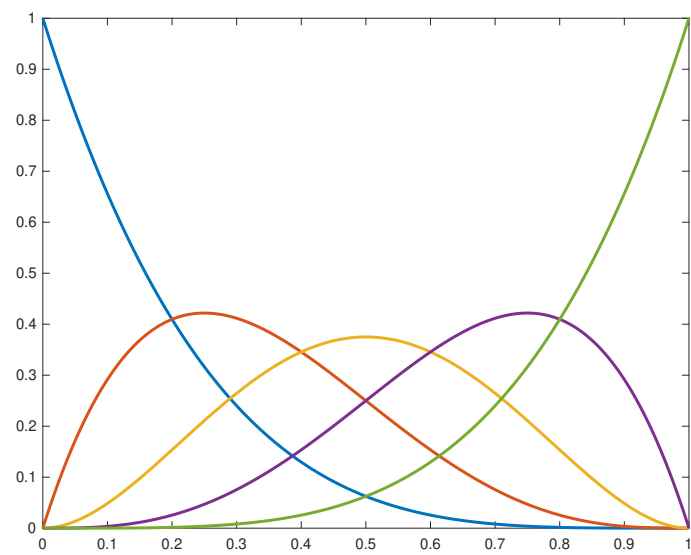


Figura 3: Base di Bernstein di ordine 5



Figura 4: Supporto locale

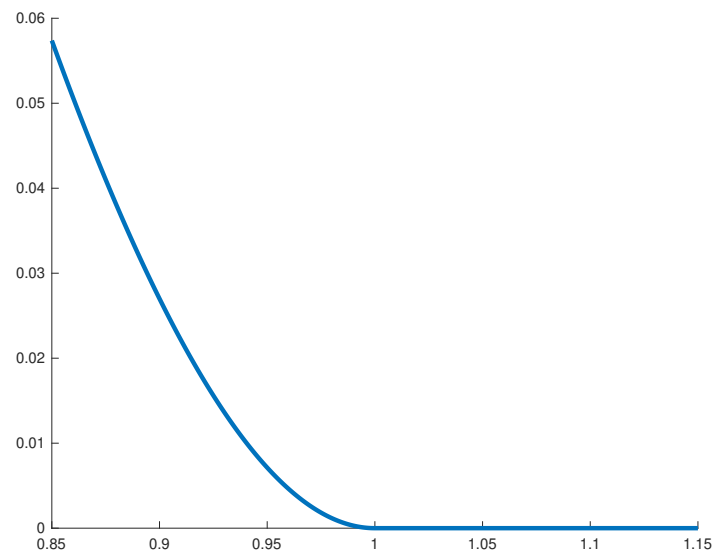


Figura 5: Dettaglio della prima splines  $N_{1,4}(t)$  per  $t = [0.85, 1.15]$

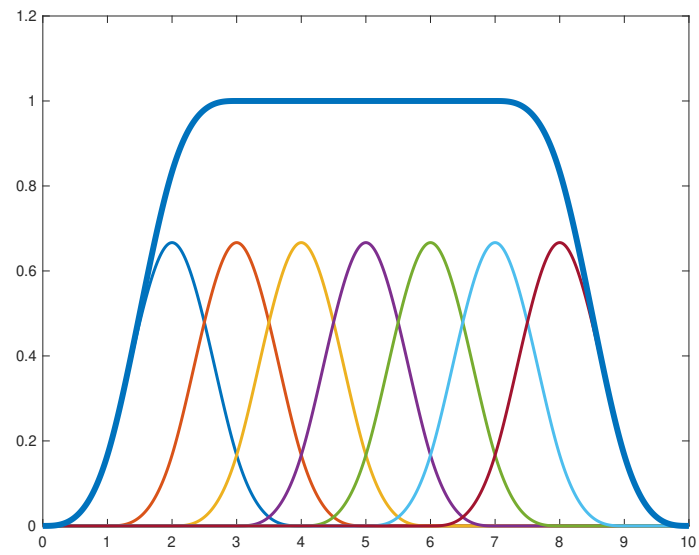


Figura 6: Partizione dell'unità con nodi uniformi



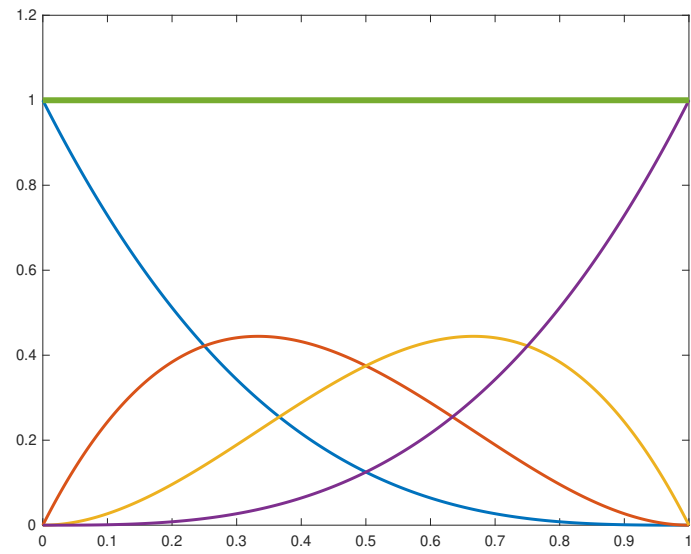


Figura 7: Partizione dell'unità nella base di Bernstein



Figura 8: Partizione dell'unità con partizione nodale *clamped*